

АЛЕКСАНДР ЛАБУТИН, МИХАИЛ ЧЕШИНСКИЙ, ТАТЬЯНА ЛАБУТИНА¹

МОДЕЛИРОВАНИЕ И ОПТИМИЗАЦИЯ ГАЗОЖИДКОСТНОГО ПРОЦЕССА ОКСИЭТИЛИРОВАНИЯ СПИРТОВ

MODELLING AND OPTIMIZATION OF GAS-LIQUID PROCESS ETHOXYLATION OF ALCOHOLS

Аннотация

В данной работе поставлена и решена задача оптимизации газожидкостного процесса оксигетилирования спиртов методами математического моделирования. Предложен алгоритм расчета, приведены результаты оптимизации.

Ключевые слова: *реактор, абсорбер, целевой продукт, моделирование, оптимизация*

Abstract

In this paper the problem of optimizing the gas-liquid process of ethoxylation of alcohols using mathematical modeling was formulated and was solved. An algorithm for the calculation was offered. The results of optimization was presented.

Keywords: *reactor, absorber, the target product, simulation, optimization*

¹ Д.т.н., профессор Александр Николаевич Лабутин, аспирант Михаил Чешинский, к.т.н., доцент Татьяна Владимировна Лабутина, Ивановский государственный химико-технологический университет.

1. Введение

Процессы оксиэтилирования спиртов, фенолов, гликолов лежат в основе производства многих промышленно-важных продуктов: поверхностно-активных веществ, охлаждающих и тормозных жидкостей [1, 2]. В промышленности оксиэтилирование осуществляют в полупериодических реакторах барботажного типа, удельная производительность которых очень низкая ($0,01 \div 0,03 \text{ кг}/(\text{м}^3 \cdot \text{с})$) [3]. Авторы [4] и ряд зарубежных ученых предлагают проводить процесс в жидкофазном реакторе трубчатого типа, что позволяет на два порядка увеличить удельную производительность аппаратов. Оба способа обладают недостатками.

Низкая удельная производительность полупериодического процесса и высокая параметрическая чувствительность непрерывного реактора вытеснения обусловлены недостаточной удельной поверхностью теплосъема [4] и низкой скоростью отвода выделяющегося тепла процесса. Суммарный тепловой эффект составляет около 100 кДж/моль превращенного оксида этилена. При этом приблизительно 20 \div 25% тепла выделяется при физическом растворении газообразного оксида этилена в реакционной массе [5].

Растворенный оксид этилена реагирует со спиртом с образованием ряда промежуточных продуктов



где A, B – исходные реагенты; $P_1 \dots P_n$ – продукты реакции, часть из которых является целевыми; k_i – константа скорости i -ой стадии реакции. Кинетика реакции и значения констант скоростей реакции оксиэтилирования спиртов приведены в [6].

При проведении таких процессов стоит задача определения варианта аппаратурно-технологического оформления и режимных параметров, обеспечивающих получение заданного количества целевых продуктов в необходимом соотношении, устойчивую работу системы и отвечающих требованиям ресурсосбережения.

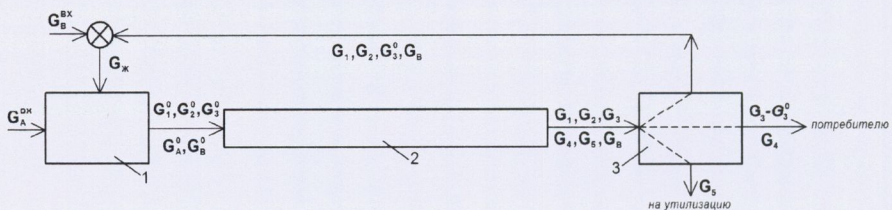


Рис. 1. Функционально-структурная схема газожидкостного процесса оксиэтилирования
1 – стадия физической абсорбции; 2 – реакторная подсистема; 3 – стадия разделения

Fig. 1. Functional and structural diagram of the gas-liquid process ethoxylation
1 – stage physical absorption; 2 – reactor subsystem; 3 – phase separation

Учитывая изложенное, предлагается осуществлять непрерывный газожидкостной процесс оксиэтилирования в три стадии: первая стадия – физическая абсорбция

оксида этилена спиртом или смесью, включающей продукты реакции; вторая – непосредственно химическое взаимодействие; третья – стадия разделения (рис. 1). В качестве целевых продуктов принятые продукты P_3 и P_4 .

На рис. 1 принятые следующие обозначения: $G_A^{BX} = G_A^0$ – массовый поток окиси этилена; $G_B^0 = G_B^{BX} + G_B$ – массовый поток спирта; $G_1^0 = G_1$ и $G_2^0 = G_2$ – массовые потоки легких нецелевых продуктов P_1 , P_2 ; $(G_3 - G_3^0)$, G_4 – массовые потоки целевых продуктов P_3 и P_4 ; G_5 – массовый поток побочного тяжелого продукта P_5 ; $G_{жк}$ – массовый поток жидкой фазы, поступающей на стадию абсорбции.

Газообразный оксид этилена подается на стадию абсорбции, где поглощается смесью исходного спирта и рециркулирующих продуктов реакции. Жидкофазная реакционная смесь поступает на вход реакторной подсистемы. Предполагается, что оксид этилена в реакторе полностью превращается в продукты. На вход стадии разделения подается смесь, содержащая целевые и побочные компоненты, а также непрореагировавший спирт. Непрореагировавший спирт, более легкие продукты, чем целевые и часть легкого целевого вещества возвращаются на стадию абсорбции. Побочные продукты поступают на утилизацию, а целевые – потребителю.

Выбор типа абсорбера определяется физико-химическими характеристиками системы газ-жидкость и требованиями к организации процесса: 1) газообразный оксид этилена хорошо растворим в спирте, причем подается в аппарат в чистом виде, без газа – носителя; 2) процесс сопровождается существенным тепловым эффектом; 3) ввиду потенциальной взрыво- и пожароопасности, а также с целью сбережения энергоресурсов, предполагается осуществлять полное поглощение подаваемого в аппарат оксида этилена. Анализ областей применения типовых массообменных аппаратов позволил сделать выбор в пользу полого распыливающего абсорбера (ПРА) [7,8].

Химическое взаимодействие предполагается осуществлять в трубчатом реакторе, работающем в изотермическом режиме. Относительно стадии разделения делается допущение о 100%-ой разделяющей способности, т.е. возможности выделения каждого компонента смеси в чистом виде.

2. Постановка задачи исследования

В настоящей работе решается задача оптимального синтеза химико-технологической системы (ХТС), реализующей газожидкостной процесс оксигетилирования спиртов. Содержательная формулировка выглядит следующим образом: необходимо определить значения режимно-технологических параметров (объем аппаратов, состав и величины материальных потоков на входе в аппараты, значения рециркуляционных потоков со стадии разделения), обеспечивающих экстремум некоторого критерия оптимальности и выполнение ограничений в форме заданного соотношения целевых компонентов на выходе системы при заданной производительности по ним.

В работах [9, 10, 11] решалась подобная задача при рассмотрении жидкофазного процесса оксигетилирования. В качестве целевых веществ выступали первые продукты реакции P_1 и P_2 , рассматривался рецикл только компонента P_1 [9].

Для выбранных целевых продуктов реакции P_3 и P_4 задано соотношение их массовых потоков на выходе системы $\beta_{34Д} = [(G_3 - G_3^0)/G_4]_{34Д}$. Т.к. скорости стадий

реакции имеют одинаковый порядок по концентрации окиси этилена, то состав продуктов на выходе реактора зависит только от конверсии спирта, начальных концентраций рециркулирующих продуктов, в том числе продукта P_3 . Исходя из этого, в качестве критерия оптимальности предлагается использовать величину выхода целевых компонентов на 1 кг поданного спирта с учетом рецикла продукта P_3 за вычетом выхода побочного тяжелого продукта P_5 :

$$R = (G_3 - G_3^0 + G_4)/G_B^0 - G_5/G_B^0 \quad (1)$$

Основной функцией и задачей стадии физической абсорбции оксида этилена является подготовка реакционной смеси такого состава, чтобы обеспечить в реакторе необходимую величину конверсии спирта. В предположении, что путем выбора конструктивных и технологических параметров абсорбера эта задача решена, максимизацию критерия эффективности (1) предлагается осуществлять путем подбора состава реакционной смеси на входе в реактор и его размеров при следующих ограничениях.

Ограничение на соотношение целевых компонентов:

$$\varphi_1 = [(G_3 - G_3^0)/G_4 - \beta_{34}]^2 = 0 \quad (2)$$

Ограничения, отражающие требования ресурсосбережения:

$$\begin{aligned} \varphi_2 &= G_1 - G_1^0 = 0 \\ \varphi_3 &= G_2 - G_2^0 = 0 \end{aligned} \quad (3)$$

Ограничения, связанные с потенциальной взрыво- и пожароопасностью:

$$\varphi_4 = |G_A - \delta_A| = 0 \quad (4)$$

где δ_A – малая величина, G_A – массовый расход оксида этилена на выходе реактора.

С учетом ограничений (2), (3), (4) состав реакционной смеси на входе в реактор определяется соотношением:

$$\varphi_5 = 1 - x_A^0 - x_B^0 - x_1^0 - x_2^0 - x_3^0 = 0 \quad (5)$$

где $x_A^0, x_B^0, x_1^0, x_2^0, x_3^0$ – мольные доли оксида этилена, спирта и рециркулирующих продуктов реакции P_1, P_2, P_3 .

Решение задачи оптимального синтеза рассматриваемой ХТС предполагает наличие математического описания реактора, полого распыливающего абсорбера и общего алгоритма моделирования системы.

3. Математическое описание процесса оксиэтилирования

Математическое описание процесса оксиэтилирования включает в себя математическое описание полого распыливающего абсорбера (ПРА) и математическое описание трубчатого изотермического реактора.

Предполагается, что распыливающее устройство способно обеспечить монодисперсный состав жидкой фазы и ее равномерное распределение по сечению аппарата. В качестве условного диаметра капли, который часто рассматривают как эквивалент действительного полидисперсного состава, используется так называемый зауторовский диаметр d_{32} [12]. Необходимо отметить, что при объемной концентрации дисперсной фазы менее 18% коэффициенты массоотдачи для единичной капли и стесненного потока совпадают в пределах ошибки эксперимента [13].

Математическое описание взаимодействия жидкой капли с газовой фазой включает уравнения сохранения количества движения, массы и тепловой энергии. Выражением закона сохранения массы является уравнение материального баланса по поглощаемому компоненту для капли, а также уравнение общего материального баланса капли. При записи уравнений движения из всех сил, действующих на каплю (сила Архимеда, Магнуса, Бассэ-Буссинеска и др.), будем учитывать только наиболее значительные по величине – силу тяжести и силу вязкого трения. Поскольку плотность и вязкость капельной жидкости и сплошной фазы различаются на порядок, будем пренебречь деформацией капли, а также циркуляцией жидкости в капле. С учетом требований к организации процесса физической абсорбции, предполагается осуществлять распределенную по высоте аппарата подачу газовой фазы, причем ровно столько в каждую точку, сколько его поглощается капельной жидкостью. Концентрация которой по сечению аппарата принимается постоянной. При выводе уравнений считаем, что определенный объем газа движется вместе с частицей по всему объему аппарата, т.е. мы предполагаем, что около капли существует некоторое газовое облако. Полная энергия капли, движущейся в пространстве, складывается из внешней механической энергии и внутренней. Механической энергией пренебрегаем.

Приняты следующие обозначения: τ – время полета, с; m – масса капли, кг; X, Y – горизонтальная и вертикальная координата, м; V_x, V_y – проекции скорости капли на координатные оси м/с; F_{Cx}, F_{Cy} – проекции силы сопротивления на координатные оси, Н; x – концентрация поглощаемого компонента в капле, кмоль/кмоль смеси; x^* – равновесная концентрация поглощаемого компонента, кмоль/кмоль смеси; β – коэффициент массопередачи, м/с; α – коэффициент теплопередачи, кДж/(м²·с·К); $\rho_{\text{го}}$ – плотность газовой фазы, кг/м³; $Cp_{\text{го}}$ – удельная теплоемкость газовой фазы, кДж/(м²·с·К); Cp – удельная теплоемкость жидкой фазы, кДж/(кг·К); d – диаметр капли, м; T – температура капли, К; $T_{\text{го}}$ – температура газовой фазы, К; g – ускорение свободного падения, м/с²; ΔH – тепловой эффект растворения, кДж/кмоль; N_i – количество кмолов i -го жидкого компонента в капле, кмоль; N_{cm} – суммарное количество кмолов спирта, продуктов реакции и окиси этилена в капле, кмоль смеси; $m_{\text{го}}$ – масса газового облака, приходящаяся на единичную каплю жидкости, кг; $M_{\text{го}}$ – молекулярная масса окиси этилена, кг/моль; M_{cm} – молекулярная масса смеси, кг/моль; $T_{\text{го}}^{rx}$ – температура свежей окиси этилена, К.

$$\begin{aligned}
\frac{dV_x}{dt} &= -\frac{1}{m} \cdot \left[F_{cx} + V_x \cdot \frac{dm}{dt} \right] \\
\frac{dV_y}{dt} &= \frac{1}{m} \cdot \left[m \cdot g - F_{cy} - V_y \cdot \frac{dm}{dt} \right] \\
\frac{dX}{dt} &= V_x \\
\frac{dY}{dt} &= V_y \\
\frac{dx}{dt} &= (1-x) \cdot \frac{6 \cdot \beta}{d} \cdot (x^* - x) \\
\frac{dm}{dt} &= \frac{\sum_i N_i \cdot M_{oi} \cdot 6 \cdot \beta \cdot (x^* - x)}{(1-x) \cdot d} \\
\frac{dT}{dt} &= \frac{6 \cdot \beta}{d \cdot M_{cm} \cdot Cp} \cdot (x^* - x) \cdot (\Delta H + M_{oi} \cdot Cp_{oi} \cdot T_{oi}) - a \cdot \pi \cdot d^2 \cdot (T - T_{oi}) \cdot \frac{1}{m \cdot Cp} - b \\
\frac{dT_{oi}}{dt} &= \frac{1}{m_{oi}} \cdot N_{cm} \cdot \beta \cdot \frac{6}{d} \cdot (x^* - x) \cdot M_{oi} \cdot (T_{oi}^{bx} - T_{oi}) + \frac{1}{m_{oi} \cdot Cp_{oi}} \cdot a \cdot \pi \cdot d^2 \cdot (T - T_{oi}) \\
b &= \frac{T}{m} * \frac{dm}{dt} - \frac{T}{Cp} * \frac{dCp}{dt}
\end{aligned} \tag{6}$$

Сила сопротивления определяется по следующей зависимости [13]:

$$F_c = \frac{1}{8} \cdot \pi \cdot d^2 \cdot \rho_{oi} \cdot C \cdot |\bar{V}_{oth}| \cdot \bar{V}_{oth}$$

где C – коэффициент аэродинамического сопротивления среды; \bar{V}_{oth} – вектор относительной скорости капли, м/с.

Начальные условия для решения системы уравнений (1) запишем в виде:

$$\begin{aligned}
V_x(\tau = 0) &= V^0 \cdot \cos(\gamma), & V_y(\tau = 0) &= -V^0 \cdot \sin(\gamma), & X(\tau = 0) &= X^0, & Y(\tau = 0) &= Y^0 \\
x(\tau = 0) &= x^0, & m(\tau = 0) &= m^0, & T(\tau = 0) &= T^0, & T_{oi}(\tau = 0) &= T_{oi}^0
\end{aligned}$$

где γ – угол между вектором скорости капли и горизонтальной осью; V^0 – начальная скорость капли, м/с.

Математическое описание трубчатого изотермического реактора включает в себя уравнения материального баланса по компонентам; уравнение, учитывающее изменение плотности реакционной смеси по длине аппарата.

$$\begin{aligned}\frac{dy_i}{dz} &= \frac{S \cdot \rho \cdot R_i}{G} - \frac{y_i}{\rho} \cdot \frac{d\rho}{dz} \\ \frac{d\rho}{dz} &= \sum_{i=1}^n M_i \cdot \frac{dy_i}{dz}\end{aligned}\quad (7)$$

где: z – пространственная координата, направленная вдоль оси аппарата (длина аппарата), м; S – сечение аппарата, м^2 ; y_i – концентрация i -го компонента реакционной смеси, $\text{кмоль}/\text{м}^3$; ρ – плотность реакционной смеси, $\text{кг}/\text{м}^3$; G – массовый расход реакционной смеси на входе в реактор, $\text{кг}/\text{с}$; R_i – скорость реакции по i -му компоненту, $\text{кмоль}/(\text{м}^3 \cdot \text{с})$; M_i – молярная масса i -го компонента реакционной смеси, $\text{кг}/\text{кмоль}$; n – количество компонентов в реакционной смеси.

Начальные условия для решения системы уравнений (2) запишем в виде: $y_i(z=0) = y_i^0$; $\rho(z=0) = \rho^0$.

4. Численное моделирование и результаты оптимизации

Исходя из функциональной схемы процесса (рис. 1), постановки задачи оптимального синтеза и структуры математических моделей основных стадий (6), (7), общий алгоритм решения задачи можно представить следующим образом.

Для заданной производительности по смеси целевых веществ ориентировочно задается нагрузка по спирту на реактор G_B^0 , а также требуемое соотношение целевых веществ на выходе системы и температура в реакторе. Далее реализуется процедура определения состава входной смеси реактора (5) и его объема с учетом ограничений (2), (3), (4), доставляющих максимум критерию (1). Состав смеси на входе в реактор определяется величинами рециркулирующих потоков, нагрузкой на реактор по спирту G_B^0 и величиной варьируемого массового потока окиси этилена $G_A^0 = G_A^{BX}$.

- Процедура носит итерационный характер с целью определения величин рециркулирующих потоков. На каждой итерации решается система уравнений модели реактора (7). Если заданная нагрузка по спирту G_B^0 не обеспечивает необходимую производительность по целевым продуктам, то она корректируется. Результаты моделирования и оптимизации реактора позволяют вычислить нагрузку на абсорбер по жидкой фазе $G_{ж}$, состоящей из исходного спирта и рециркулирующих потоков, нагрузку по газовой фазе $G_A^0 = G_A^{BX}$ и требуемый состав жидкой фазы на выходе абсорбера. Задача моделирования абсорбера заключается в определении размеров аппарата, обеспечивающих требуемый состав жидкой фазы на выходе при заданной нагрузке по жидкой фазе.

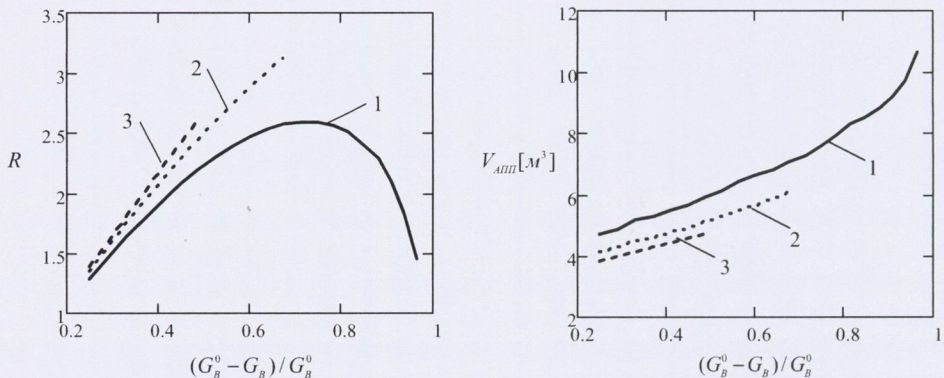


Рис. 2. Зависимость критерия оптимальности и объема ректора от конверсии спирта
 $1 - \beta_{ЗАД} = 1; 2 - \beta_{ЗАД} = 2; 3 - \beta_{ЗАД} = 3$

Fig. 2. Dependence of the optimality criterion and amount of the reactor of the conversion of alcohol
 $1 - \beta_{ЗАД} = 1; 2 - \beta_{ЗАД} = 2; 3 - \beta_{ЗАД} = 3$

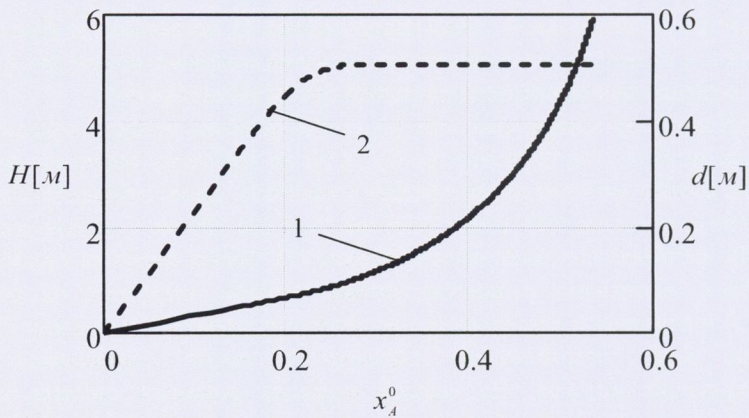


Рис. 3. Зависимость диаметра и высоты абсорбера
от мольной доли оксида этилена в жидкой фазе
1 – высота абсорбера; 2 – диаметр абсорбера

Fig. 3. Dependence of diameter and height of the absorber
from the mole fraction of ethylene oxide in the liquid phase
1 – height of absorber; 2 – diameter of absorber

В результате моделирования и оптимизации реактора исследована зависимость критерия оптимальности и объема реактора от степени превращения спирта для различных значений $\beta_{ЗАД}$ при $G_B^0 = 500$ кг/ч и температуре в реакторе 373 К (рис. 2).

Из рисунка можно найти оптимальную конверсию спирта и требуемый объем реактора. На рис. 3 представлена зависимость диаметра и высоты абсорбера от необходимой мольной доли оксида этилена в жидкой фазе при $\beta_{ЗАД} = 1$, $G_{ж} = 3087 \text{ кг/ч}$, $\gamma = 55$. Зная необходимую мольную долю оксида этилена можно определить требуемые габариты абсорбера.

5. Заключение

Таким образом, в работе была поставлена и решена задача оптимального синтеза процесса газожидкостного оксиэтилирования спиртов для получения в заданном соотношении и с заданной производительностью промежуточных целевых продуктов на примере продуктов Р₃ и Р₄. Результаты моделирования и оптимизации ХТС позволяют определить требуемую нагрузку по окиси этилена и спирту на схему, нагрузку по жидкой фазе на стадию абсорбции, величины рециркулирующих потоков веществ, требуемые габариты абсорбера и реактора, а также состав веществ на входе в реактор.

Литература

- [1] Шенфельд Н.: *Поверхностно-активные вещества на основе оксида этилена*, Химия, 1982.
- [2] Дымент О. И. и др.: *Гликоли и другие производные окиси этилена и протилены*, Химия, 1976.
- [3] Швец В. Ф., Макаров М. Г., Сучков Ю. П.: Тезисы докладов всесоюзной конференции „Химреактор – 9”, Гродно, 1986.
- [4] Макаров М. Г. и др.: Сборник научных трудов „Научные исследования высшей школы в области химии и химических продуктов”, (2001), 52-58.
- [5] Зимаков П. В.: *Оксись этилена*, Химия, 1967.
- [6] Швец В. Ф., Цивинский Д. Н.: *Кинетика реакции оксиэтилирования спиртов в бинарных смесях спирт – окись этилена*, Кинетика и катализ, Т. XII. Вып. 5. 1981.
- [7] Рамм В. М.: *Абсорбция газов*, Химия, 1976.
- [8] Соколов В. Н., Доманский И. В.: *Газожидкостные реакторы*, Машиностроение. 1976.
- [9] Рускол Н. В., Керперман В. А., Емельянов В. И.: *Математическое моделирование процесса получения бутилцеллозолида и бутилкарбитола в заданном соотношении в реакторе с рециклом*, Тезисы докладов Всесоюзной конференции „Химреактор – 9”, Гродно, 1986.
- [10] Гриневич П. В., Лабутин А. Н., Хализов Р. Л., Сучков М. Е., Грошев Г. Л.: *Режимно-технологическая оптимизация многопродуктовых реакторных систем непрерывного типа*, Химия и химическая технология, 1999.

- [11] Лабутин А. Н.: *Оптимизация гибких многопродуктовых реакторных систем непрерывного типа*, Химия и химическая технология, 42, (1999), 117-122.
- [12] Чохонелидзе А. Н. и др.: *Справочник по распыливающим оросительным и каплеулавливающим устройствам*, Энергоатомиздат, 2002.
- [13] Броунштейн Б. И., Щеголев В. В.: *Гидродинамика, массо- и теплообмен в колонных аппаратах*, Химия, 1988.